

波浪による間隙水圧変動のモデルのパラメータ

京都大学工学部 正会員 ○酒井哲郎、前田建設工業 上田康浩
Univ. of Delaware D. T. Cox

1 はじめに： 波浪による海底地盤の液状化などの問題の原因となる海底地盤内の間隙水圧変動に関しては、今まで現地観測をした例がほとんどない。そこで本研究では、我々が昨年行った現地観測を紹介すると共に、Mei & Foda(1981)の間隙水圧に関する近似解のパラメータの1つである間隙水の有効体積弹性係数 β に関して、観測結果を説明する値を検討する。

2 現地観測概要： 現地観測は、新潟県大潟町にある京都大学防災研究所大潟波浪観測所において実施した。観測したのは、海岸線から約250m沖合いに延びたT字型桟橋のTの字の海岸からみて左肩の部分のほぼ中央部の直下の、海底地盤表面の波圧変動と地盤中の間隙水圧変動である。水深は約5mである。長さ3mの間隙水圧測定装置(図-1)は、ウォータージェットにより海底地盤中約2.2mまで埋設した。水圧の受圧面には、フィルター(40μm)を取り付けた。各受圧部分では、パイプの内外の水の出入りがないように完全にシャットアウトした。

ダイバーによると、波圧計No.1は海底面から約30cm上にあつたが、埋設したパイプの周りが図のように少し深くなっていたということである。No.2は海底面から約20cm下、No.3は70cm、No.4は120cm、No.5は170cm下に位置する。今回はキャリブレーションを海上で行い、0点を大気圧にとった。1回の測定ではNo.1～No.5の全ての水圧計について数分間データレコーダーに出力を記録した。間隙水圧計の設置直後3日間には、大きな波の下での観測はできなかった。観測したのは、次の6回である。①1990年3月28日13:13～13:17、
②3月28日16:10～16:14、③3月29日12:06～12:10
④3月29日14:21～14:24、⑤3月30日9:07～9:11、
⑥5月25日10:07～10:23。海底面波圧から推測すると、波高はせいぜい40cm位しかなかった。

3 観測結果の解析： アナログデータレコーダーによって収録された各記録を、サンプリング間隔0.01secでA/D変換し、水頭値に換算し図化した。次に上記の①(観測シリーズ1)と⑤(観測シリーズ2)の中の波高の大きいいくつかの波について、5個の水圧計の水圧振幅を図から読み取り比較した(表-1はその一例)。それによると間隙水圧の振幅は一般に地盤深度が深くなるにつれ減少していくが、表-1の場合のように観測結果の中にはNo.2の間隙水圧振幅がNo.1の海底面の波圧振幅よりも同じかやや大きくなっているものがあった。

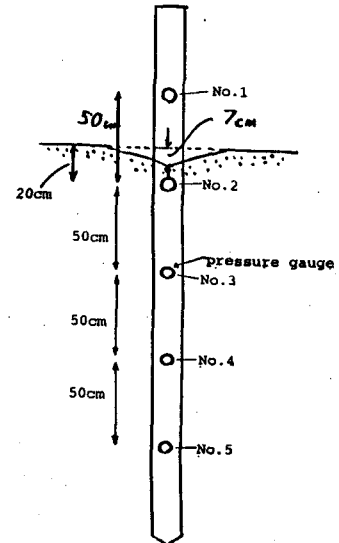


図-1 間隙水圧測定装置

表-1 間隙水圧振幅の減衰の例

観測シリーズ1 Wave No.3 周期 6.2sec

観測値 理論値(Mei & Foda, 1981)

 β (N/m²)

	1ch.	2ch.	3ch.	4ch.	5ch.
(cm)	23	24	21	17	16
(cm)			16.7	11.7	8.3
(cm)			18.7	14.6	11.6
(cm)			21.3	19.0	17.9

Testuo SAKAI, Yasuhiro UEDA, Daniel T. COX

波浪による間隙水圧変動に関するMei & Foda(1981)の近似解(式(1))との比較のために、観測値の最大値と最小値の差(波高に相当)と、式(1)の右辺第1項の外部解と第2項の境界層補正解の振幅の2倍を足し合わせたものとを比較した(z:地盤深度)。表-1に、観測シリーズ1、Wave No.3の例を示している。

$$p = p_0 / (1+m) \cdot \exp(-2\pi z/L) \cdot \cos(\lambda x - \omega t) + p_0 \cdot m / (1+m) \cdot \exp(-z/\sqrt{2}\delta) \cdot \cos(\lambda x - \omega t + z/(\sqrt{2}\delta)) \quad (1)$$

ここで、 $m = n/(1-2\nu) \cdot G/\beta$, $\lambda = 2\pi/L$, $\omega = 2\pi/T$,

$$\delta = (KG/\omega)^{1/2} \cdot \{nG/\beta + (1-2\nu)/2(1-\nu)\}^{-1/2}, K = k/\rho_w g$$

諸量の値はつぎの通りである。間隙率 $n = 1/3$, ポアソン比 $\nu = 1/3$, 土粒子の体積弾性係数 $G = 1.0 \times 10^8 \text{ N/m}^2$, 透水係数 $k = 2.8 \times 10^{-4} \text{ m/s}$, 間隙水の密度 $\rho_w = 1.0 \times 10^3 \text{ kg/m}^3$ 。以上は、砂地盤においては余り変化しない値として代表的な値を用いた。周期 T は観測値を用いた。水深 h は各波のNo.2のデータの最大値と最小値の平均を用いた。すなわち観測シリーズ1では $5.2 \sim 6.2 \text{ sec}$, 5.6 m 、観測シリーズ2では $5.2 \sim 6.4 \text{ sec}$, 5.7 m である。波長は微小振幅波理論から求めた。海底面の波圧振幅 p_0 としては No.2 の波圧振幅を用いた。No.3 以下の

地盤深度はそれぞれ 0.5 ,

1.0 , 1.5 m とした。その結

果、表-1をみてもわかるよ
うに $\beta = 1.0 \times 10^7 \text{ N/m}^2$ や

$2.0 \times 10^7 \text{ N/m}^2$ の場合は深さ
方向への減衰が激しく、 $\beta = 1.0 \times 10^8 \text{ N/m}^2$ の場合が最も観測結果に合致することが分かった。

式(1)からわかるように外
部解と境界層補正解の間に
は $z/(\sqrt{2}\delta)$ の位相差があ
る。上述の比較では両者の
位相の遅れを考慮してい
ない。次に間隙水圧変動の時
間波形に関して、Mei and
Foda(1981)の理論(式(1))
との比較を行った(図-2)。

図-2は観測シリーズ1、
Wave No.3についての結果
である。計算条件は振幅比
較の場合と同じである。他
の場合も含めて $\beta = 1.0 \times 10^8 \text{ N/m}^2$ の場合がほぼ観測結
果と一致している。

参考文献 Mei, C. C. &
Foda, M. A. (1981),

Geophys. J. R. astr. Soc.
, Vol. 66, pp. 673-705.

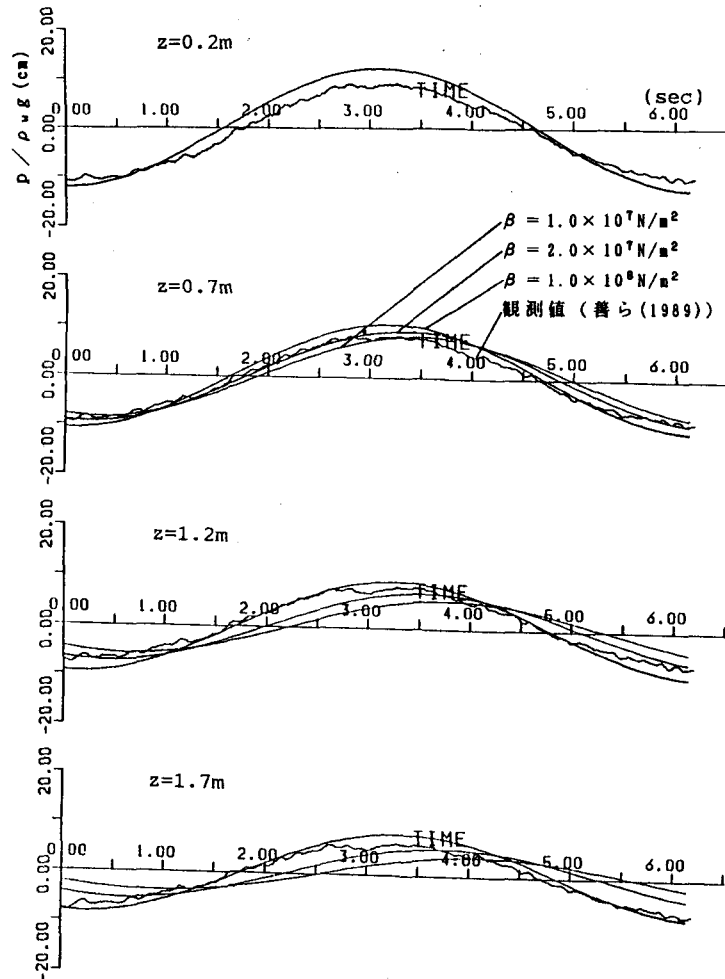


図-2 間隙水圧の時間変化(シリーズNo.1, Wave No.3)